

Ca - Mo

$\text{Y}_2(\text{MoO}_4)_3$

VIII - 4719

1926

$\text{BaMoO}_4$ ;  $\text{CaMoO}_4$ ;  $\text{Zn}(\text{MoO}_4)_3$ ;  $\text{SrMoO}_4$  ( $H_1-H_0$ ),

Cone E.,

Rend. accad. sci. fis. mat (Clas. soc. reale Napoli), 1926, 32, 23

Ricezze calorimetriche su alcuni sali.

○

5 

10

Kenn N° 584.

CaMoO<sub>4</sub>

Редужина Т.Н.,  
Герасимов Я.И.,  
Синяков И.Н.

1949

Берг. № 24, 1949, № 6, 103

Равновесие CaWO<sub>4</sub>, MgWO<sub>4</sub>,  
и CaMoO<sub>4</sub> в H<sub>2</sub>.

+2



CaMoO<sub>4</sub>, CaMoO<sub>3</sub>, M<sub>7</sub>W<sub>6</sub>

VI-1694  
1953

(ΔH, ΔS, Kp)

MgWO<sub>4</sub>, CaWO<sub>4</sub>, MnWO<sub>4</sub> · MnO, Fe<sub>7</sub>W<sub>6</sub>, NiWO<sub>4</sub>, Ni<sub>4</sub>W, WO<sub>2</sub>.

Gerasimov Y.I.

Doklady Mezhdunarod. Kongr. Teoret., Priklad.  
Khim. XII Kongr., Stockholm 1953, 77-104.

Thermodynamic properties of tungstates of  
bivalent metals (and of calcium molybdate)

M, W,

F CA, 1954, 4941b

eeft q.r.k

ЗР 1Х-2578

1956

Саллоу (Кр)

Земекиев А.Н., Беловская Л.В.,  
дл. прикл. химии, 1956,  
29, №1, 11-17.

$\text{Rb}(\text{NO}_3)_2$  ( $\Delta \text{H}_{\text{aq}}$ ,  $\Delta \text{H}_{\text{f}}$ ),

$\text{Ca}(\text{NO}_3)_2$  ( $\Delta \text{H}_{\text{aq}}$ ),  $\text{CaMoO}_4$  ( $\Delta \text{H}_{\text{f}}$ ),

$\text{PbMoO}_4$  ( $\Delta \text{H}_{\text{f}}$ ,  $\Delta \text{H}_{\text{aq}}$ ,  $\text{H}_{\text{p.p.}}$ )

VII-1059 1958

Muldrow C.N., Jr., Hepler L.G.

J.Phys.Chem., 1958, 62, N8, 982-84.

Heats of precipitation and formation of  
lead and calcium molybdates.

RX., 1959, 10972 W, Ja,

F

lect 9-10

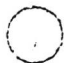
Ex-3169

1958

Сармоды (Р-Р, H<sub>2</sub>O) (KP)

Синегорь В.И., Сабур Н.А.,

Н.С. кеопрсау. Журнал, 1958, 3, 1979



B

CaMoO<sub>4</sub>

Изукарев С.А. и др.

1961

Докл. АН Тадж. ССР,

4, N5, '13

к вопросу переносимости  
и р-циси-хлорирований  
ионов бамбаков синего хло-  
ра и хлоридов сероз.



(Ca. Pb MoO<sub>4</sub>) I

$\text{CaMoO}_4$

Barany R.  
NASA, Doc. N63-11332,  
15 pp.

1962

Меморандум о свободнодействующих  
изерни образований  $\text{CaWO}_4$ ,  
 $\text{CaMoO}_4$  и  $\text{MgMoO}_4$ .

(Cll.  $\text{CaWO}_4$ ) I

Ca.MloO <sub>4</sub>	Barany R.	1962
	U.S. Bur. Mines, Rept. Invest.	
711	No. 6143, 11 pp.	
28	Меморандум в свободное	
окончание	время обработки	
	CaW <sub>2</sub> O <sub>4</sub> , Ca.MloO <sub>4</sub> и	
	Mg.MloO <sub>4</sub> .	
	(Ca. Mg.MloO <sub>4</sub> ) I	

Саллоу

Шукарев С.А. и др.

1962

МСГХ;

35, № 1459

Межпогранический ассоциат процессов хемогенеза из исходных газообразных смесях хлора и хлоридов серы.



(ав. Р.Б. Малоу) I

$\text{CaMoO}_4$

Weller W.W.,  
King E.G.

1963

$C_p$ ,

$\Delta G_f$

712  
718  
3  
3  
3  
3  
3

U.S. Bur. Mines, Rept. Invest.  
No. 6147, 6pp.

Несколько спаранализованное ми-  
норитовое и эвдиолитовое  
при  $298,15^\circ\text{K}$  соотношение  
ионов  $\text{Na}$ ,  $\text{Mg}$  и  $\text{Ca}$ .

( $\text{Ca}_x \text{Na}_2 \text{MoO}_4$ ) I

1965

CaMoO<sub>4</sub>CaMoO<sub>3</sub>

12 Б574. Термодинамические свойства молибдата кальция из электрохимических измерений при повышенных температурах. Левицкий В. А., Френкель М. Я., Резухина Т. Н. «Электрохимия», 1965, № 11, 1371—1374

Метод э. д. с. с тв. O<sup>2-</sup>-ионным электролитом, требующий наличия в исследуемых электродах наряду с исходными в-вами продуктов их равновесного восстановления, применен для определения термодинамич. св-в CaMoO<sub>4</sub> и CaMoO<sub>3</sub>. В интервале т-р 1153—1573° К измерялись э. д. с. в конц-ионных (относительно кислорода) цепей: Pt|CaMoO<sub>4</sub>, CaMoO<sub>3</sub>|O=|Fe<sub>0,95</sub>O, FePt и

$\Delta G_f$   
 $\Delta H_f$

X · 1966 · 12

$\text{Pt}(\text{CaO} + \text{Mo})$ ,  $\text{CaMoO}_3|\text{O} = |\text{Fe}_{0,95}\text{O}$ ,  $\text{Fe}|\text{Pt}$ . В кач-ве тв-электролита использовались смешанные кристаллы  $\text{ThO}_2 - \text{La}_2\text{O}_3$ . Исследуемые электроды готовились восстановлением  $\text{CaMoO}_4$  водородом циркуляционным методом. Приготовленные таблетки прокаливались в течение 200 час. при  $1100 - 1150^\circ$  в эвакуированных кварцевых ампулах с двойными стенками, между к-рыми помещался геттер ( $\text{Ti}$ -стружка). Электродами сравнения служили таблетки виостита в смеси с металлич. Fe. На основании найденных зависимостей э. д. с. =  $f(T)$  с учетом литературных данных для р-ций  $\text{CaO} + \text{Mo} + \text{O}_2 = \text{CaMoO}_3$  и  $\text{CaO} + \text{Mo} + 3/2\text{O}_2 = \text{CaMoO}_4$  в интервале  $1153 - 1573^\circ$  К получено (кал):  $\Delta G^0(\pm 130) = -144\ 783$   $(\pm 2200) + 36,82$   $(\pm 1,53) \cdot T$ ,  $\Delta G^0(\pm 210) = -215\ 133$   $(\pm 3000) + 55,01$   $(\pm 2,08) \cdot T$ . На основании полученных данных рассчитаны стандартные термодинамич. функции при  $298^\circ$  К для р-ций образования  $\text{CaMoO}_3$  и  $\text{CaMoO}_4$  из окислов и элементов. Стандартные энтропии (энтр. ед.)  $\text{CaMoO}_3$  и  $\text{CaMoO}_4$  получены равными: 24,7 и 28,6 соответственно.

Реферат авторов

*CaMoO<sub>4</sub>*

1965

Thermodynamic properties of calcium molybdate from electrochemical measurements at high temperatures. V. A. Levitskii, M. Ya. Frenkel, and T. N. Rezukhina (State Univ., Moscow). *Elektrokhimiya* 1(11), 1371-4(1965)(Russ.). Emf. of the cells: (1) Pt|CaMoO<sub>4</sub>, CaMoO<sub>3</sub>|O<sup>-</sup>|Fe<sub>0.947</sub>O, Fe|Pt; and (2) Pt|(CaO + Mo), CaMoO<sub>3</sub>|O<sup>-</sup>|Fe<sub>0.947</sub>O, Fe|Pt was measured around 1000°.  $E_1$  was  $0.1407 - 4.35 \times 10^{-5}T$  and  $E_2 = 0.1849 - 4.83 \times 10^{-5}T$ . From these and other data standard free energy changes were obtained for the following reactions (in cal.): CaMoO<sub>3</sub> + Fe<sub>0.947</sub>O → CaMoO<sub>4</sub> + 0.947Fe ( $-6490 + 2.01T$ ); CaO + Mo + 2Fe<sub>0.947</sub>O → CaMoO<sub>3</sub> + 1.894Fe ( $-17,063 + 4.46T$ ); CaMoO<sub>3</sub> +  $\frac{1}{2}O_2$  → CaMoO<sub>4</sub> ( $-70,350 + 18.19T$ ); CaO + Mo + O<sub>2</sub> → CaMoO<sub>3</sub> ( $-144,783 + 36.82T$ ). The standard enthalpy of formation of CaMoO<sub>4</sub>, at 298°, is  $-372.3$  kcal., and the standard entropy was 28.6 e.u. for CaMoO<sub>4</sub> and 24.7 e.u. for CaMoO<sub>3</sub>. A mixt. of ThO<sub>2</sub> and La<sub>2</sub>O<sub>3</sub> served as the solid electrolyte in the cells.

E. Ben-Zvi

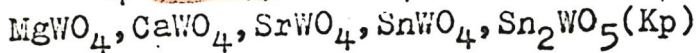
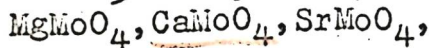
C.A. 1966. 64. 12

16722 gh

CM. 128

VII 983

1965.



Verhaegen G., Colin R.,

Exsteen G., Drowart J.

Trans. Faraday Soc., 1965, 61(511), 1372-5.

Mass-spectrometric determination of the  
stability of gaseous molybdates, tungstites,  
molybdates, and tungstates of Mg, Ca, Sr, Sn.

M, 10

1965

3227-VI

$\text{MgTiO}_3$ ,  $\text{FeTiO}_3$ ,  $\text{FeSiO}_3$ ,  $\text{MgSiO}_3$ ,  $\text{RbNO}_4$ ,  $\text{BaCo}_3$ ,  
 $\text{CaSO}_4$ ,  $\text{ZnSO}_4$ ,  $\text{ZnCO}_3$ ,  $\text{CaMoO}_4$  ( $\Delta \text{H}_{\text{aq}}$ )

Урусов В.С.

Геохимия, 1965, (10), 1186-90.

Acid-Base equilibria in relation to the  
chemical bond polarity.

Есть оригинал.

CA, 1965, 63, N13, 17207

F

W.

CaMoO<sub>3</sub>

БР IX-993

1966

$\Delta H^\circ_f$

4 Б522. Термодинамические исследования соединений типа MeMoO<sub>3</sub>. II. Теплота образования CaMoO<sub>3</sub>. Баранчева Н. Г., Жаркова Л. А. «Ж. физ. химии», 1966, 40, № 6, 1368—1370

Методом сожжения в калориметрич. бомбе с инициирующим в-вом (бензойная к-та) определена теплота образования CaMoO<sub>3</sub> по р-ции  $\text{CaMoO}_3 + \frac{1}{2}\text{O}_2 = \text{CaMoO}_4$ ;  $\Delta H^\circ(\text{обр.}; 298)\text{CaMoO}_3 = -277,8$  ккал/моль. Методом сравнительного расчета определена свободная энергия образования  $\Delta G^\circ(\text{обр.}; 298)\text{CaMoO}_3 = -256,1$  ккал/моль. Сообщ. I РЖХим, 1964, 21Б337. Реферат авторов

X · 1967 · 4

1966

BPP IX - 993CaMoO<sub>3</sub> $\Delta H_f^\circ$ 

Thermodynamic studies of compounds of the type MMoO<sub>3</sub>.  
 II. Heat of formation of CaMoO<sub>3</sub>. N. G. Barancheeva and L. A. Zharkova (V. L. Lenin Ped. Inst., Moscow). *Zh. Fiz. Khim.* 40(6), 1368-70(1966)(Russ); cf. *CA* 61, 1321d. The heat of formation was detd. by combustion in a calorimetric bomb with benzoic acid as an initiator. A value of  $\Delta H_{298}^\circ = -277.8$  kcal./mole was obtained. The equation obtained earlier *loc. cit.* was used to find the free energy of formation;  $\Delta Z_{298}^\circ = -256.1$  kcal./mole. GLJR

C. A. 1966. 65.7

9827 d

БФ № - 1158

1967

CaMoO<sub>3</sub> (mg.g)

Реухинеа Т.Н., Левицкий В.А.,  
Иж. Акад СССР, Несправ. матер.  
акт, 1967, 3, №1, 138-145.

1968

CaMoO<sub>4</sub>

22 Б471. О кристаллической структуре повеллита  
CaMoO<sub>4</sub>. Александров В. Б., Горбатый Л. В.,  
Илюхин В. В. «Кристаллография», 1968, 13, № 3,  
 512—513.

Рентгенографически (метод рентгendifрактометра, монокристальная съемка,  $\lambda$  Mo- $K_{\alpha}$ ) изучены кристаллы повеллита CaMoO<sub>4</sub>, полученные методом гидротермальной перекристаллизации. Параметры тетрагональной решетки:  $a$  5,224,  $c$  11,430 Å,  $Z=4$ , ф. гр. I 4/a. Структура определена по двумерным проекциям Паттерсона и уточнена по двумерным проекциям Фурье,  $R=11\%$ . Структура относится к типу шеелита: атомы Ca находятся в восьмивершиннике, а атомы Mo — в почти правильном тетраэдре из атомов O (межатомные расстоя-

Х. 1968 · 22

ния Ca—O 2,45, 2,48, O—O 2,78—3,75, Mo—O 176, O—O 2,82, 2,94 Å). При сравнении с  $\text{CaWO}_4$  и  $\text{CoMoO}_4$  выяснилось, что вокруг атомов Mo (W), помимо ближайших атомов O, расположены еще четыре атома O, образующих вторую координационную сферу. Увеличение межатомных расстояний в первой координационной сфере сопровождается уменьшением расстояний Mo(W)—O во второй координационной сфере, что приводит к смене не только коорд. ч. обоих катионов, но и структурного типа у  $\text{CoMoO}_4$ .

С. В. Рыкова

Хроматы, мошебанты,  
бончоррасанты Be, dig, (SH<sup>0</sup><sub>298</sub>,)  
Ca; Sr, Ba, Ra. (SG<sup>0</sup><sub>298</sub>) № 8042

④ Кодзар - Зеликов В.А., ~~24-25~~

Люкокрист., Сибирь. Оп. № -  
5 макрофлоры, 1968, № 3, 202-12 (расс.)

Сравнительное пасение № SH<sup>0</sup><sub>2984</sub>

SG<sup>0</sup><sub>293</sub> хроматы, мошебанты,  
бончоррасанты, Уратситы,  
кальциты, бериллы в серии  
изданий с 1940 г. № 3, 120, 102691 а  
(ам. оригинал) "Академия наук СССР"

CaMoO<sub>4</sub>, CaWO<sub>4</sub>

BP-1X-481. 1968

5/2

162113x Equilibriums of reactions for reducing calcium molydate and tungstate by carbon monoxide and carbon.  
Zelikman, A. N.; Belyaevskaya, L. V.; Bobylev, V. M. (USSR).  
*Izv. Akad. Nauk SSSR, Metal.* 1968, (3), 80-7 (Russ). The equil. were studied by the circulation method at 900-1200°. CaMoO<sub>4</sub> is reduced by CO or by C first to CaMoO<sub>3</sub>, then to CaO and Mo; CaWO<sub>4</sub> is similarly reduced first to CaWO<sub>3.8</sub>, then to Ca<sub>3</sub>WO<sub>6</sub>, and finally to CaO and W. Equations are given for  $\Delta G$  for each stage of each reaction and are used to calculate the standard thermodynamic functions as follows: equil. of CaMoO<sub>4</sub> with CO and CO<sub>2</sub>:  $\Delta H_{298}^{\circ}$  374.0 kcal.,  $\Delta G_{298}^{\circ}$  - 347.7 kcal.,  $S_{298}^{\circ}$  27.0 entropy units; equil. of CaMoO<sub>3</sub> with CO and CO<sub>2</sub>  $\Delta H_{298}^{\circ}$  296.3,  $\Delta G_{298}^{\circ}$  - 279.3,  $S_{298}^{\circ}$  25.32; equil. of CaWO<sub>4</sub> with CO and CO<sub>2</sub>:  $\Delta H_{298}^{\circ}$  383.3,  $\Delta G_{298}^{\circ}$  - 356.7,  $S_{298}^{\circ}$  - 27.5. C. D. Kopkin

C.A. 1968-69.16



(+1)



1969

Ca Cr F<sub>4</sub>Specie  
cup - paT<sub>m</sub>

~~102571~~ Metal difluoride ( $MF_2$ ) ( $M$  = calcium, strontium, or barium)-chromium difluoride systems. Dumora, Denis; Ravez, Jean (Serv. Chim. Miner. Struct., Fac. Sci. Bordeaux, Talence, Fr.). *C. R. Acad. Sci., Paris, Ser. C* 1969, 268(4), 337-9 (Fr). The following new compds. were prep'd. by solid state reaction at  $700^\circ$  followed by annealing at  $600$ - $1000^\circ$ , and then characterized by x-ray diffraction: CaCrF<sub>4</sub>, m.  $930^\circ$ , tetragonal with  $a$  5.45 and  $c$  10.62 A., d. (exptl.) 3.52,  $Z$  = 4; SrCrF<sub>4</sub>, m.  $875^\circ$ , tetragonal with  $a$  5.67 and  $c$  10.94 A., d. (exptl.) 4.13,  $Z$  = 4; BaCrF<sub>4</sub>, m.  $770^\circ$ , tetragonal with  $a$  15.59 and  $c$  7.66 A.; d. (exptl.) 4.80,  $Z$  = 18; and Ba<sub>2</sub>CrF<sub>6</sub>, m.  $880^\circ$ , monoclinic with  $a$  4.245,  $b$  16.20, and  $c$  4.245 A.,  $\beta$   $92.20^\circ$ , d. (exptl.) 4.96,  $Z$  = 2.

BGJF

+2

C.A. 1969 · 40 · 22.



1969

Ca CrF<sub>5</sub>

16665x Metal difluoride (metal = calcium, strontium, barium)–chromium trifluoride system. Dumora, Denis; Ravez, Jean (Serv. Chim. Miner. Struct., Fac. Sci. Bordeaux, Talence, Fr.). *C. R. Acad. Sci., Paris, Ser. C* 1969, 268(13), 1246–8 (Fr.). X-ray diffraction studies of  $MF_2$ – $CrF_3$  systems ( $M = Ca$ ,  $Sr$ , or  $Ba$ ) indicate the existence of 5 new phases. Phase, crystal form, m.p., lattice parameters  $a$ ,  $b$ ,  $c$ , and  $\beta$ , space group, and  $Z$  are:  $CaCrF_5$ , monoclinic,  $895^\circ$ , 7.53, 6.47, 9.01 Å., 115.95°,  $C_{2h}^5-P2_1/c$ , 4;  $Ca_2CrF_7$ , orthorhombic,  $825^\circ$ , 9.700, 7.807, 7.087 Å., —, —, 4;  $SrCrF_5$ , tetragonal,  $820^\circ$ , 14.25, —, 7.289 Å., —,  $C_4^5-I4$ ,  $S_4^2-I\bar{4}$ , or  $C_{4h}^5-I4/m$ , 16;  $Ba_3(CrF_6)_2$ , tetragonal,  $915^\circ$ , 14.807, —, 7.587 Å., —, isotropic with the preceding phase, 6;  $Ba_3Cr_5F_{21}$ , orthorhombic,  $1040^\circ$ , 13.949, 5.724, 4.949 Å., —, —, 1.

FBJF

C.A. 1969.

71.4

Саллоуи-Дил (фуз. магнитные), 10. 1969

Коршунов И.А., Крюкова А.И., Конев  
Х 4815 д. В.

Пр. хим.-хим.-технол., 1969, № 1, 21-6  
(реценз.)

Изобретение относится к изобретению ком-  
пактных расширяющихся хромированных  
металлических штифтов.

Б. Г. © О СА 1970, № 2, № 48562.

IX 3026 CaMoO<sub>4</sub>-LiCl; CaMoO<sub>4</sub>-KCl, 1969

CaMoO<sub>4</sub>-RbCl, CaMoO<sub>4</sub>-CsCl;

SrMoO<sub>4</sub>-MCl; BaMoO<sub>4</sub>-MCl

M = Li, K, Rb, Cs

Родионов А.В., Кирюкова А.И., ~~Бор~~ Коршунов И.А.

Мр. хим. технол., 1969, №3, 43-45

(cp)

5

САГ

Ca-Mo

1969

83539t Thermodynamic analysis of solid-phase reactions of molybdenum trioxide with alkaline-earth metal oxides and carbonates. Zhukovskii, V. M.; Petrov, A. N. (USSR). *Zh. Fiz. Khim.* 1969, 43(12), 3050-3 (Russ). The similarity method was used for the calcn. of changes in the Gibbs free energy ( $\Delta Z$ ) during 11 possible reactions in the solid phase between  $\text{MoO}_3$  and  $\text{XCO}_3$  and  $\text{XO}$ , where X is Ca, Mg, Sr, or Ba. The dependence of  $\Delta Z$  on temp. is given in graphs at 273-1073°K. The possibility was suggested of the formation of basic molybdates of the compn.  $2\text{XO} \cdot \text{MoO}_3$  and  $3\text{XO} \cdot \text{MoO}_3$  for X = Mg, Sr, or Ba at temps.  $< 1073^\circ\text{K}$  and acid molybdates  $\text{XO} \cdot 2\text{MoO}_3$  for X = Sr or Ba in mixts. with an excess of  $\text{MoO}_3$  at temps.  $\geq 1073^\circ\text{K}$ .

Karel A. Hlavaty

+3

C. A. 1970.

72-16



1921

17 B24. Химия расплавов. V. Получение кристаллических галогеновольфраматов и галогеномолибдатов  $\text{MO} \cdot \text{MWO}_4 \cdot n\text{MX}_2$  и  $\text{MO} \cdot \text{MMoO}_4 \cdot n\text{MX}_2$ . Вагта С., Schultze D., Wilke K.-Th., Zemlicka J. Zur Chemie in Schmelzlösungen. V. Darstellung kristalliner Hagolenowolframate und Halogenomolybdate  $\text{MeO} \cdot \text{MeWO}_4 \cdot n\text{MeX}_2$  bzw.  $\text{MeO} \cdot \text{MeMoO}_4 \cdot n\text{MeX}_2$  «Z. anorg. und allg. Chem.», 1971, 380, № 1, 41—44 (нем.; рез. англ.)

Нагреванием смесей  $\text{MCO}_3 + \text{MWO}_4 + \text{MX}_2$  и  $\text{MCO}_3 + \text{MMoO}_4 + \text{MX}_2$  ( $\text{M} = \text{Ca}$  и  $\text{Sr}$ ,  $\text{X} = \text{Cl}$  и  $\text{Br}$ ) в мол. отношении 1:1:15—20 или смесей  $\text{MCO}_3 + \text{WO}_3(\text{MoO}_3) + \text{MX}_2$  в мол. отношении 1:2:15—20 при  $1000^\circ$  с послед. медленным охлаждением получены кристаллы  $\text{CaO} \cdot \text{CaM}'\text{O}_4 \cdot \text{CaCl}_2$ , где  $\text{M}' = \text{Mo}$  (I) и  $\text{W}$  (II),  $\text{CaO} \cdot \text{CaM}'\text{O}_4 \cdot 1,5\text{CaBr}_2$ , где  $\text{M}' = \text{Mo}$  (III) и  $\text{W}$  (IV),  $\text{SrO} \cdot \text{SrWO}_4 \cdot 2\text{SrCl}_2$  (V) и  $\text{SrO} \cdot \text{SrWO}_4 \cdot 1,5\text{SrBr}_2$  (VI). Рентгенографически подтверждено образование аналогичных соединений в системах  $\text{BaO} - \text{BaM}'\text{O}_4 - \text{BaX}_2$ , однако выделить эти сое-

I'm

+/-

X. 1921. IX

(f1)

X

$\text{CaO} \cdot \text{CaMoO}_4 \cdot 1,5 \text{CaB}_{22}$

$\text{CaO} \cdot \text{CaW}_2\text{O}_4 \cdot 1,5 \text{CaB}_{22}$

дисперсия не удалось вследствие малой растворимости  $\text{BaX}_2$  в неводнико-римелях. I—VI чувствительны к действию  $\text{H}_2\text{O}$  и влажного воздуха. Р-ции I—VI с  $\text{H}_2\text{O}$  приводят к разложению I—VI на соответствующие  $\text{M(OH)}_2$ ,  $\text{MX}_2$  и  $\text{MM}'\text{O}_4$ . Длительное нагревание I—VI в сухом воздухе при  $1100^\circ$  приводит к разложению I—VI на  $\text{M}_3\text{M}'\text{O}_6$  и  $\text{X}_2$ , а при нагревании I—VI во влажном воздухе образуются  $\text{M}_3\text{M}'\text{O}_6$  и  $\text{HX}$ . I—VI никонгруэнтно плавятся при 940, 1020, 925, 940, 1030 и  $1045^\circ$  соответственно. Сняты рентгенограммы порошка I—VI и показана возможность роста больших монокристаллов I и II (до 20 мкм длиной) из эвтектического расплава 62 мол. %  $\text{LiCl} + 38$  мол. %  $\text{CaCl}_2$ . Сообщ. IV см. РЖХим, 1971, 15B24.

И. С. Шаплыгин

1944

CaMoO<sub>4</sub>

Na<sub>2</sub>MoO<sub>4</sub>

Cp,

T<sub>e</sub>, J/moLg.

c<sub>b</sub>-6a

(44516u) Determination of thermodynamic constants of calcium molybdate (powellite) and sodium molybdate. Zhidikova, A. P.; Kuskov, O. L. (Inst. Geokhim. Anal. Khim. im. Vernadskogo, Moscow, USSR). *Geokhimiya* 1971, (9), 1149-51 (Russ). The heat capacity and other thermodynamic consts. of CaMoO<sub>4</sub> and Na<sub>2</sub>MoO<sub>4</sub> at 298-1273°K were detd. by thermal anal.

M. Dokladal

(+1)

C. A. 1944. 45.24

1971

CaMoO<sub>4</sub>  
CaWO<sub>4</sub>

колебат.  
спектр

крист  
сп-ра

13 Б163. Колебательные спектры  $\text{CaMoO}_4$  и  $\text{CaWO}_4$  при высоких давлениях. Nicol Matson, Dugana Jean F. Vibrational Raman spectra of  $\text{CaMoO}_4$  and  $\text{CaWO}_4$  at high pressures. «J. Chem. Phys.», 1971, 54, № 4, 1436—1440 (англ.)

Получены спектры КР монокристаллов  $\text{CaMoO}_4$  и  $\text{CaWO}_4$  при давл. до 40 кбар. Спектры возбуждались линией 5145 Å аргонового лазера. При увеличении давл. наблюдались сдвиги большинства частот кол. ( $\partial\nu/\partial p = 0,0—1,0 \text{ см}^{-1}/\text{кбар}$ ), однако характер сдвигов для всех частот (за исключением частоты  $409 \text{ см}^{-1}$  для  $\text{CaWO}_4$ ) не согласуется с моделью Скотта, учитывающей, гл. обр., изменения расстояний между ионами. Отклонения в основном связаны с фазовым переходом при больших давлениях, на что указывает расщепление колебаний типа  $E_g$   $145 \text{ см}^{-1}$  и  $797 \text{ см}^{-1}$  для  $\text{CaMoO}_4$  и  $117 \text{ см}^{-1}$  и  $797 \text{ см}^{-1}$  для  $\text{CaWO}_4$ .

А. Бобров

X. 1971. / 3

$2\text{CaO}\cdot\text{M}_2\text{O}_3$

$\cdot\text{GeO}_2$

$M=\text{Al}, \text{Ga}$

$(T_m)$

23 Б474. Рентгенографическое изучение германатов со структурой мелилита. Mayer H., Wittmann A. Röntgenographische Untersuchungen an Germanaten mit Melilith-Struktur. «Monatsh. Chem.», 1972, 103, № 2, 460—463 (нем.; рез. англ.)

1972

Проведено рентгенографич. изучение (методы порошка, Вейсенберга и прецессии) кристаллов  $2\text{CaO}\cdot\text{M}_2\text{O}_3\cdot\text{GeO}_2$ , где  $M=\text{Al}$  (I) или  $\text{Ga}$  (II), полученных спеканием стехиометрич. смесей  $\text{CaCO}_3$ ,  $\text{M}_2\text{O}_3$  и  $\text{GeO}_2$  при  $1200—400^\circ$  в Pt-тигле. I и II изотипны гелениту,  $2\text{CaO}\cdot\text{Al}_2\text{O}_3\cdot\text{SiO}_2$  и кристаллизуются в тетрагон. сингонии, ф. гр.  $P42_1m$  с параметрами решетки  $a$  7,763; 7,873,  $c$  5,115; 5,184 Å,  $\rho$  (выч.) 3,43, 4,18,  $\rho$  (изм.) 3,39, 4,12 соотв. Т. пл. I 1565, II 1475°. Кристаллы I и II обладают спайностью по (001). I и II образуют непрерывный ряд тв. р-ров, причем параметры решетки последних в зависимости от состава изменяются линейно. В I и II атомы Ca имеют восьмерную, а M и Ge — тетраэдрич. координацию, причем половина атомов M распределена в позициях 2(a), а остальные атомы M и атомы Ge статистич. распределены в 4(e), т. е. структура I и II может быть представлена ф-лой  $\text{Ca}_2\text{Al}[(\text{Al}, \text{Ge})\text{O}_7]$ .

М. Б. Варфоломеев

X-1972-23

Сашоу, Са Моду (ОН) 1<sup>х</sup> 4614 1972

Зеликман А.Н., Ракова Н.Н.,  
Научн. пр. Моск. ин-та сибир. и  
сиханов, 1972, № 75, 3-7

И

$n\text{BeO}\cdot\text{H}_2\text{O}_3$ ;  $n\text{MgO}\cdot\text{H}_2\text{O}_3$ ; ( $\text{sk}, \text{s}, \text{cp}$ ) 1972  
 $n\text{CaO}\cdot\text{H}_2\text{O}_3$ ;  $n\text{SiO}_2\cdot\text{H}_2\text{O}_3$ ;  $n\text{BaO}\cdot\text{H}_2\text{O}_3$  № 3587

Геусовский В.М., Геускович Т.Н.,

№: №092. хим.; 1972, 17, №3, 689-  
-95 (русск.)

Пермогорнозаводская стадион  
поселок шахтодротов машины  
и бригады 12

М, З, Б



ст, 1972, №22, 132377

$\text{CaD}_3\text{MB}$ )

1973

Bairin Y, et al

moee I, cup. 205

298-1000

● (con AgF) I

$\text{Al}_2\text{Si}_5$ ,  $\text{CaMoO}_4$ ,  $\text{Na}_2\text{Al}_2\text{Si}_6\text{O}_{16}$  (S). 1973

Тордев С.Д. IX 4513

Тр. ИЗОКИБ. хим.-технол. ин-то, 1973,  
бюл. 16, 19-22

Рассчитанный метод термодинамического оценки из  
термохимических реакций образования сложных  
соединений. Сообщение 2. Метод расчета энтропий  
реакций образования сложных кислородных  
соединений.

РДН хим., 1974

19520.7 (704)



СамоO<sub>4</sub>

1973

Ca<sub>3</sub>MoO<sub>6</sub>

22 Б661. Фазовая диаграмма системы MoO<sub>3</sub>—CaO.  
Янушкевич Т. М., Жуковский В. М. «Ж. не-  
органической химии», 1973, 18, № 8, 2234—2237

Методами ДТА, визуально-полтермич., рентгенографич., денситометрич. и измерения электросопротивления образцов различных составов в процессе их нагревания исследована фазовая диаграмма системы MoO<sub>3</sub>—CaO до т-ры 1600°. В системе зафиксировано существование двух хим. соединений: CaMoO<sub>4</sub>, конгруэнтно плавящегося при 1445±5°, и Ca<sub>3</sub>MoO<sub>6</sub>, существующего в области т-р 1270—1370°. Ниже 1270° Ca<sub>3</sub>MoO<sub>6</sub> диспропорционирует на термодинамически устойчивые фазы CaMoO<sub>4</sub> и CaO, при 1370° — никонгруэнтно плавится.

Резюме

(T<sub>m</sub>)

X. 1973 № 22

1973



118838p Phase diagram of the molybdenum trioxide-calcium oxide system. Yanushkevich, T. M.; Zhukovskii, V. M. (USSR). *Zh. Neorg. Khim.* 1973, 18(8), 2234-7 (Russ). The phase diagram for the system  $\text{MoO}_3$ - $\text{CaO}$  at  $<1600^\circ$  is constructed by using DTA, visual polythermic, x-ray diffraction, densitometric, and elec. cond. data. The system forms  $\text{CaMoO}_4$ , congruently m.  $1445 \pm 5^\circ$ , and  $\text{Ca}_3\text{MoO}_6$ , which exists at  $1270$ - $1370^\circ$ . At  $<1270^\circ$ , the  $\text{Ca}_3\text{MoO}_6$  disproportionates to the thermodyn. stable  $\text{CaMoO}_4$  and  $\text{CaO}$ . The  $\text{Ca}_3\text{MoO}_6$  incongruently m.  $1370^\circ$ . X-ray diffraction data of  $\text{Ca}_3\text{MoO}_6$  are given.

(Tm)

C.A. 1973, 79 n 20

*Ca<sub>3</sub>MoO<sub>6</sub>* ВФ-ЧЧ38-1Х

1973

6 В21. Об условиях образования и физико-химических свойствах трехкальциевого молибдата  $\text{Ca}_3\text{MoO}_6$ . Янушкевич Т. М., Шевченко Н. Н., Жуковский В. М., Устьянцев В. М., Лыкова Л. Н. «Ж. неорган. химии», 1973, 18, № 11, 2931—2935

Рассмотрены условия получения, устойчивость и нек-рые физ.-хим. св-ва  $\text{Ca}_3\text{MoO}_6$  (I). I ниже 1270° диспропорционирует на  $\text{CaMoO}_4$  и  $\text{CaO}$ , а при 1370° — ин-

(Tm)

конгруэнтно плавится. Индицирование рентгенограммы закаленного I проведено в предположении ром. сингонии с параметрами элементарной ячейки:  $a 5,806 \pm 0,002$ ,  $b 5,533 \pm 0,002$ ,  $c 7,988 \pm 0,003$  Å.

Резюме

X.1974 № 6

CaW04

1973

Zelikman A.N (Зеликман)

Rakova N.N. (Ракова)

, Hayru. imp. flock. Илер.

меридиан. Снаres и снарядов

1972, №75, 3-7.

(ав. CaW04; I)

1973

# $\text{Ca}_3\text{MoO}_6$

55395q Formation conditions and physicochemical properties of tricalcium molybdate ( $\text{Ca}_3\text{MoO}_6$ ). Vanushkevich, T. M.; Shevchenko, N. N.; Zhukovskii, V. M.; Ust'yantsev, V. M.; Lykova, L. N. (Mosk. Gos. Univ. im. Lomonosova, Moscow, USSR). *Zh. Neorg. Khim.* 1973, 18(11), 2931-5 (Russ.).  $\text{Ca}_3\text{MoO}_6$  reacts with  $\text{CaO}$  in a 1:2 molar ratio at  $1270^\circ$  to give  $\text{Ca}_3\text{MoO}_6$ . At  $<1270^\circ$   $\text{Ca}_3\text{MoO}_6$  disproportionates to  $\text{CaMoO}_4$  and  $\text{CaO}$  and at  $1370^\circ$  it melts incongruently. From x-ray diffraction data,  $\text{Ca}_3\text{MoO}_6$  is orthorhombic with  $a 5.886 \pm 0.002$ ,  $b 5.533 \pm 0.002$ , and  $c 7.988 \pm 0.003$  Å;  $d_{\text{exptl.}}$  = 3.96 and  $d_{\text{x-ray}} = 4.04$ .

(Tm)

C.A. 1974. 80, N10

$\text{CaMo}_4(\text{f})$  [commen 9584] 1974

Barnes D.S.  
Cr, Mo, W-compounds.

( $\Delta H_f$ ) Compr. Anal. Thermo-  
Chem. Data, CATCH-tables  
Univ. Sussex, Brighton.  
Sussex, 1974.

СаMo<sub>4</sub>

1974

5 Б894. Масс-спектрометрическое исследование испарения сложных окислов вольфрама и молибдена. Чижиков Д. М., Казенас Е. К., Ермилова И. О. В сб. «Вторая Всес. конф. по масс-спектрометрии, 1974; Тезисы докл.» Л., «Наука», 1974, 179—180

Методом Кнудсена с масс-спектрометрич. анализом продуктов испарения определены состав и парциальные давл. парогазовых компонентов при испарении СаMo<sub>4</sub>.

(P; ΔH<sub>s</sub>)

★ (H) □

X. 1975 № 5

(I) из молибденового тигля и  $\text{CaWO}_4$  (II) из вольфрамового тигля. Определены относит. составы масс-спектров насыщ. паров над тв. I и II с учетом изотопного распределения. Рассчитаны абс. давл. над I в интервале т-р 1490—1764 К. Показано, что испарение II идет по ур-нию II (тв.) $\rightarrow$ II (газ.). Рассчитаны абс. давл. II в области т-р 1797—1927 К и теплота сублимации II.

А. Гузей

~~CaMoO<sub>4</sub> · 1/2 H<sub>2</sub>O~~

BEP IX-45431974

159794f Calcium-selective electrode measurements of calcium molybdate solubilities in water. Mumallah, Naim A. A.; Popiel, W. J. (Chem. Dep., Univ. Jordan, Amman, Jordan). *Anal. Chem.* 1974, 46(13), 2055-6 (Eng). A Ca-selective electrode was used to det. the solv. of CaMoO<sub>4</sub> at 20-40°. The solv. product of CaMoO<sub>4</sub> is  $5.0 \times 10^{-9}$  at 40° and the heat of soln. of CaMoO<sub>4</sub>.1/2H<sub>2</sub>O is 9.5 kcal/mole.

(1 Haq)

C.A. 1974 81 N24

Ва.Мо04 ( $T_{t_7}$ ) УИИУД № 4659 1974  
~~Само~~04 (ДНД) и зп.  
Жуковский В.И., Ткаченко Е.В.,

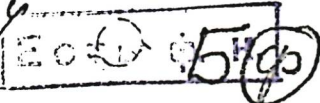
Петровская Л.Г.

Ж. Норг. химии, 1974, 19, №,  
1637-1640

Системы  $MgMoO_4$ - $MeMoO_4$ .

РНХСОН, 1974

206777



$\text{SrMoO}_4$ ,  $\text{CaWO}_4$ ,  $\text{CaMoO}_4$ , IX-5013 1975  
 $\text{SiWO}_4$ ,  $\text{BaWO}_4$ ,  $\text{PBWO}_4$ ,  $\text{PBMoO}_4$ ,  
 $\text{KYO}_4$ ,  $\text{KReO}_4$ ,  $\text{BaMoO}_4$  ( $T_{\text{dec}}$ )

Sardeshmukh D.B., Rao M.J.M.,  
Indian J. Phys., 1975, 49 (3),  
249-3.

IX-5713  
Debye characteristic temperatures of some crystals with...

C.A. 1975. 83 n10. 889842W      5       15

CaMoO<sub>4</sub>

1975

84: 11104x Debye temperatures and mean square amplitudes of vibrations in some Scheelite type compounds. Suryanarayana, S. V. (Univ. Coll. Sci., Osmania Univ., Hyderabad, India).

*Indian J. Pure Appl. Phys.* 1975, 13(8), 553-4 (Eng).

By using the method of D. Betts et al (1956), the Debye characteristic temps. of CaMoO<sub>4</sub>, SrMoO<sub>4</sub>, PbMoO<sub>4</sub> and CaWO<sub>4</sub> were calcd., employing the reported data on the elastic consts. of these compds. It is obsd. that in isotropic molybdates, when the cation is replaced, a gradation exists between the values of the mean square amplitudes of vibration of atoms and the linear coeffs. of thermal expansion.

(+3)



C.A. 1976

84 v2

# СаMoO<sub>4</sub>; CaWO<sub>4</sub>

1978

18 Б836 Деп. Система CaMoO<sub>4</sub>—CaWO<sub>4</sub>. Ткаченко Е. В., Петросян Ю. Г., Жуковский В. М., Гольдштейн Д. И. (Редколлегия ж. «Изв. высш. учеб. заведений. Химия и хим. технол.»). Иваново, 1975. 8 с., ил., библиогр. 8 назв. (Рукопись деп. в ВИНИТИ 19 мая 1975 г, № 1364—75 Деп.)

( $T_m$ )

1975-IV-1942

Дифференциально-термическим, визуально-политермич. рентгенометрич. методами анализа в комплексе с измерением электросопротивления и плотности образцов изучен характер взаимной р-римости в системе CaMoO<sub>4</sub>—CaWO<sub>4</sub> и построена диаграмма плавкости. Установлено, что в системе образуются непрерывные тв. р-ры. Т. пл. CaMoO<sub>4</sub> и CaWO<sub>4</sub>, полученные на основании результатов ДТА, равны  $1490 \pm 10^\circ$  и  $1590 \pm 10^\circ$ , соотв. Для уточнения характера образующихся тв. р-ров определены изменения параметров элементарных ячеек непрерывного ряда тв. р-ров. Полученная зависимость позволяет судить о нелинейном употреблении элементарной ячейки при переходе от индивидуальных CaMoO<sub>4</sub> и CaWO<sub>4</sub> к их тв. растворам. Автореферат

71

☒

1975 N 18

Calliope

1975

Sickertmukh D.O. et al.

(Tibetan)

Indicae J. Phys. 1975,  
49(3) 241-3 (Eng.)

Calliope; I)

IX - 5323

1976

Mg-MnO<sub>3</sub>

; zgl. M = Ca, Sr, Ba, Mg  
(proj.-grau.)

Киевів Д.,  
Іншими,

кл. неогран.

1976, 21, N5, 1321-1322

5

CA, 1976, 85 N8, 52379e

1976

IX-5403

MoO<sub>3</sub>-MO, где M = Ca, Sr, Ba, UO<sub>2</sub>  
(отмечено)

Курцев В.

Уф. АН СССР. Сп. неоргак. материалы,  
1976, 12, №, 775-777

М

CA, 1976, 85, №, 377202

Cadbury

1974

Miss L. C.

"Gior. Geol." 1974, fig.  
No. 20-21 (cont.)

(kg)

20.22.100 - 1

*Ca<sub>2</sub> ColMoO<sub>6</sub>*

1977г

*Ca<sub>2</sub>PbMoO<sub>6</sub>*

13 Б869. Исследование взаимодействия окислов щелочноземельных металлов с молибдатами Cd и Pb. Конейкин С. И., Петрова И. Ю., Зобнина А. Н., Кисляков И. П. «Изв. АН СССР. Неорган. материалы», 1977, 13, № 2, 300—303

(Tm)

Методами ДТА, комплексного термич. микровизуально-политермич., рентгенофазового анализа, ИК-спектроскопии, а также измерением относит. диэлектрич. проницаемости изучено взаимодействие в сечениях  $M'_{\text{O}} - M''_{\text{MoO}_4}$  тройной системы  $M'_{\text{O}} - M''_{\text{O}} - \text{MoO}_3$ , где  $M' = \text{Ca, Sr, Ba}$ , а  $M'' = \text{Cd, Pb}$ . В исследованных сечениях протекает реакция обмена. Во всех сечениях образуются инконгруэнтно плавящиеся соединения состава  $M'M''_{\text{MoO}_5}$  при т-рах 1245, 1415, 1405, 1270, 1300 и 1310° соотв. Взаимодействие в сечениях с участием  $\text{BaO}$  и  $\text{SrO}$  происходит с образованием соединений состава  $M'_2M''_{\text{MoO}_6}$ , конгруэнтно плавящихся при т-рах 1695, 1680, 1615 и 1590° соответственно. Автореферат

X.1977. №13

(+2)

☒

*CaMoO<sub>4</sub>*

1977

86: 146557j Thermal analysis of the sodium, potassium, calcium|molybdate system. Trunin, A. S.; Garkushin, I. K.; Gasanaliev, A. M. (Kuibyshev. Politekh. Inst. im. Kuibysheva, Kuibyshev, USSR). *Ukr. Khim. Zh. (Russ. Ed.)* 1977, 43(2), 160-2 (Russ). The phase diagram of the Na,K,Ca/MoO<sub>4</sub> system has 5 crystn. fields: 2 sets of solid solns., CaMoO<sub>4</sub>, Na<sub>2</sub>MoO<sub>4</sub>, K<sub>2</sub>MoO<sub>4</sub>, and Na<sub>2</sub>MoO<sub>4</sub>.2K<sub>2</sub>MoO<sub>4</sub>. The 2 ternary peritectics m. 695-7° and 707-9° and contain 60, 28, 12, and 47.5, 39, 13.5 equiv. % Na<sub>2</sub>MoO<sub>4</sub>, K<sub>2</sub>MoO<sub>4</sub>, and CaMoO<sub>4</sub> resp.. J. H. Scott

(Tm)

+3

C.A. 1977, 86 N20

СамоO<sub>4</sub> · PbMoO<sub>4</sub> окт. 20 629) 1978

14 Б969. Исследование взаимодействия в системах, образованных молибдатом кальция и окислами и молибдатами цинка, кадмия и свинца. Кисляков И. П., Копейкин С. И. Фам Тхи Ле Ха. «Ж. неорганической химии», 1978, 23, № 1, 167—170

С помощью ДТА, рентгенофазового анализа, ИК-спектроскопии и измерением относит. диэлектрич. проницаемости исследовано взаимодействие между молибдатом кальция и окислами и молибдатами цинка, кадмия и свинца. Установлено, что в системах CaMoO<sub>4</sub>—Zn(Cd, Pb)O компоненты реагируют по эвтектич. схеме. Подтверждено существование ограниченных областей р-римости, а также образование непрерывного ряда тв. р-ров в системах CaMoO<sub>4</sub>—Zn(Cd)MoO<sub>4</sub> соотв. В системе CaMoO<sub>4</sub>—PbMoO<sub>4</sub> обнаружено инконгруэнтно плавящееся соединение состава 1 : 1. Полученные зависимости ε — состав указывают на принадлежность максимумов ε составам 1 : 1 и Ca<sub>0,3</sub>Cd<sub>0,7</sub>MoO<sub>4</sub>.

Резюме

(Tm)

Х, 1978, № 14

1978

Си. Молб

Sr. Молб

Ba. Молб

Tet

(t2) 12

Х, 1978, № 22

22 В3. Молибдаты  $\text{MMoO}_4$  ( $\text{M}=\text{Ca}, \text{Sr}, \text{Ba}$  или  $\text{Cd}$ ).  
Meillemeestre Jean. Les molybdates  $\text{MMoO}_4$  ( $\text{M}=$

$=\text{Ca}, \text{Sr}, \text{Ba}$  ou  $\text{Cd}$ ). «Bull. Soc. chim. France», 1978,  
part. 1, № 3—4, 95—100 (франц.; рез. англ.)

Взаимодействием  $\text{MoO}_3$  с  $\text{MO}$  или с  $\text{M(OH)}_2$  в воде получены  $\text{MMoO}_4$ , где  $\text{M}=\text{Ca}$  (I),  $\text{Sr}$  (II),  $\text{Ba}$  (III) и  $\text{Cd}$  (IV). I—IV изучены методами ТГА, рентгенографии, ИК-спектроскопии, ДТА (III). Синтезированные I—IV не содержат гидратов. I—IV кристаллизуются в тетрагональной системе (ф. гр.  $14_{1/a}$ ) и имеют структуру типа шеелита. Приведены параметры решетки I—IV и изучено влияние на них воды включения. Методом ДТА показано, что при  $1265^\circ$  III претерпевает обратимое полиморфное превращение с интенсивным тепловым эффектом, обусловленное переходом структуры типа шеелита в структуру типа вольфрамита. Проведено отнесение полос в ИК-спектрах I—IV. И. А. Костин

$\text{Ca}_2\text{MoO}_4$

1948

Furin A. S. et al

(f<sub>m</sub>)

Zh. Fiz. Khim. 1948,  
52(1), 238 (rys)

cell  $\text{Na}_2\text{MoO}_4$ -T

Сармоды

Лоттишк 10008

1979

Дизерин Б.Н., Федотова Е.Ю.

(S<sub>298</sub>.  
авенка) Рук. gen. ВИНИГИ. Ден.  
N 2891-79. N, ВИНИГИ, 1979.

Calliope

1980

Засекаевы А.Н. и гр.

T<sub>m</sub>

Изб. выгнан. Убет. мигри-  
рующие, 1980, №2, 143-5

See Kee. Calliope; I

Carroll, Kunza y Magdeburg | 1980

( $\Delta H_f$ ) Kiseleva T. A.; et al.

6th Int. Conf. Thermodyn.  
Abstracts of Poster Papers  
Merseburg, DDR, 1980,

● p. 154.

*Ca. Mo. O<sub>4</sub>*  
*(nobiscum)*

Commack 10365 | 1980.  
Received U.S., Oregonia  
M.M., Tonopah H.D.

M. Goss.  
B-Ba

"Zioxococcus", 1980, v 11,  
1752-56.

CaMoO<sub>4</sub>

Lommel 16136 ] 1982

Jordar P, Chakrator-  
ty S,

D<sub>8</sub>;

Indian J. Pure and  
Appl. Phys., 1982, 20,  
N.Y., 302-305.

Садко О.

1982

Медячакова Н.В., Тюнор Н.Д.

♀ Вес. комп. по Каморине-  
ринг и Хилл. Геодезическ., Ту-  
мансу, 14-16 сент., 1982. Рассеку-  
рен. Тез. Докт. Тумансу, 1982,  
288.

(сост.  $\text{Mg}_2 \text{Si}_2 \text{O}_6 ; \text{I}$ )

Ca<sub>2</sub>WO<sub>4</sub> 1982  
Сацоинова Н.О., Казенас Е.И.

9 Вес. кокс. по калориметрии  
может. речи и доказ. переходных.,  
переходных Тбилиси, 14-16 септ., 1982.

Рассчитан. мез. горн. Тбилиси,  
1982, 355.

(см. MgWO<sub>4</sub>; I)

La Mo 6 S<sup>1</sup>

[Om. 16258]

1983

Lachal B., Baillif R.,  
et al.,

Solid State Commn.,  
1983, 45, N 49, 849-  
851.

Ла Моды

ЛМ-35949

1984

Жицукова А. Г., Ходаковский Н. В.  
(Труды Новосибирского Ун-та  
Геологии).

(P, SHF) Физико-химические соотношения  
петрогематита и рудообразующих  
веществ, Новосибирск, УЗг-60, „Наука”,  
1984, стр. 145-156.

$\text{CaMoO}_4$

1985

Hazen R. M., Finger  
L. W., et al.

Кручинин. Ж. Phys. and Chem.  
Сибирь. Solids, 1985, 46,  
 $N^2$ , 253-263.

(cub.  $\text{CaWO}_4$ ; I)

106: 91084b Phase equilibrium in the calcium oxide-molybdenum trioxide-tellurium dioxide system. Safonov, V. V.; Chaban, N. G.; Sorokina, O. V. (Mosk. Inst. Tonkoi Khim. Tekhnol., Moscow, USSR). *Zh. Neorg. Khim.* 1987, 32(1), 244-6 (Russ). A projection of the liquidus surface was constructed from DTA and x-ray phase anal. data. Compsns. and melting temps. are given for mixts. assocd. with Van Rijn and 4-phase equil. points. Boundaries of the glass-forming region are defined.

T<sub>m</sub>



(all·open·)

c.A.1987, 106, n12

CaMo<sub>6</sub>S<sub>8</sub>

1989

9 Б3099. Низкотемпературный структурный фазовый переход в CaMo<sub>6</sub>S<sub>8</sub>. Low-temperature structural phase transition in CaMo<sub>6</sub>S<sub>8</sub> / Kubel F., Yvon K. // Solid State Communications.— 1989.— 72, № 12.— С. 1219—1221.— Англ.

В диапазоне т-р 4,2—295 К методом РФА и измерением восприимчивости исследовано фазовое поведение монокристаллов Ca<sub>0,97</sub>Mo<sub>6</sub>S<sub>8</sub>. При комн. т-ре существует ромбоэдрич. высокот-риая фаза с параметрами  $a = 6,5101(9)$  Å,  $\alpha = 89,64(1)^\circ$ ,  $V = 275,9(1)$  Å<sup>3</sup>, к-рая при  $T_1 = 50$  К переходит в низкот-рную трикл. модификацию с параметрами (при 27 К)  $a = 6,4912(8)$ ,  $b = 6,4977(8)$ ,  $c = 6,5060(10)$  Å,  $\alpha = 89,461(13)^\circ$ ,  $\beta = 89,555(15)^\circ$ ,  $\gamma = 89,393(19)^\circ$ ,  $V = 274,4(1)$  Å<sup>3</sup>. Увеличение объема ячейки при переходе составило 0,47(16) Å<sup>3</sup>, что аналогично (по лит. данным) для родственных соединений Eu, Sr и В, однако трикл. искажения решетки в данном случае на порядок меньше.

Резюме

ж. 1990, № 9

*CaMo<sub>6</sub>S<sub>8</sub>*

*1989*

9 E569. Низкотемпературный структурный фазовый переход в CaMo<sub>6</sub>S<sub>8</sub>. Low-temperature structural phase transition in CaMo<sub>6</sub>S<sub>8</sub> / Kubel F., Yvon K. // Solid State Commun.— 1989.— 72, № 12.— С. 1219—1221.— Англ.

С помощью рентгенографич. измерений на монокристаллах CaMo<sub>6</sub>S<sub>8</sub> получена зависимость параметров решетки от т-ры. Показано, что при  $T_1=50\text{ K}$  происходит фазовый переход от высокотемпературной ромбоэдрической ( $a_{rh}=6,5101(9)\text{ \AA}$ ,  $\alpha_{rh}=89,64^\circ$ ,  $V_{rh}=275,9(1)\text{ \AA}^3$  при  $T=295\text{ K}$ ) фазы к низкотемпературной триклинной ( $a_{tr}=6,4912(8)\text{ \AA}$ ,  $b_{tr}=6,4977(8)\text{ \AA}$ ,  $c_{tr}=6,5060(10)\text{ \AA}$ ,  $\alpha_{tr}=89,461(3)^\circ$ ,  $\beta_{tr}=89,555(15)^\circ$ ,  $\gamma_{tr}=89,393(19)^\circ$ ,  $V_{tr}=274,4(1)\text{ \AA}^3$  при  $T=27\text{ K}$ ). Увеличение объема ячейки при  $T_1$ , равное  $0,47(16)\text{ \AA}^3$ , аналогично, но триклинные искажения решетки на порядок меньше соответствующих величин в аналогичных соединениях Sr, Ba и Eu.

E. C. A.

*CaMoO<sub>3</sub>*

1989

111: 141G24d Studies of phase relations and equilibria in the system calcium oxide-molybdenum-oxygen in the temperature range 1000-1500 K. Lindblom, Bo (Dep. Inorg. Chem., Univ. Umea, S-901 87 Umea, Swed.). *Scand. J. Metall.* 1989, 18(2), 61-6 (Eng). Phase relations in the system CaO-Mo-O, where the intermediate phases,  $\text{Ca}_{1.24}\text{Mo}_{1.01}\text{O}_3$ , "CaMo<sub>3.2</sub>O<sub>5.3</sub>", CaMoO<sub>3</sub> and CaMoO<sub>4</sub> occur, were exampd. at 1006-1460 K. The intermediate phase, CaMoO<sub>3</sub>, was stable only at temps. exceeding 1360 K. The equil. O partial pressures were detd. by solid state emf. measurements. From the measured emf. data the Gibbs free energies of formation were calcd. for CaMoO<sub>3</sub> and CaMoO<sub>4</sub>.

Kp;

c.A.1989, 111, n16

$\text{CaMoO}_3$

0m 32650

1989

112: 61119j The thermodynamic stability of calcium molybdenum oxide ( $\text{Ca}_{1.21}\text{Mo}_{1.01}\text{O}_3$ ) by solid-state emf. measurements in the temperature range 1300-1500 K. Lindblom, Bo (Dep. Inorg. Chem., Univ. Umea, S-901 87 Umea, Swed.). *Acta Chem. Scand.* 1989, 43(7), 621-3 (Eng). The thermodn. stability of  $\text{Ca}_{1.24}\text{Mo}_{1.01}\text{O}_3$  was detd. by solid-state emf. measurements in the temp. range 1300-1500 K. The equil. oxygen partial pressure was measured by the use of galvanic cells with calcia-stabilized zirconia as solid electrolyte material. From the measured emf. data, the Gibbs free energy expression was calcd. The expression for the Gibbs free energy of formation of  $\text{Ca}_{1.21}\text{Mo}_{1.01}\text{O}_3$  was calcd. by combining literature data with the above derived equation.

kp, 16f

C.A. 1990, 112, N8

CaMo<sub>4</sub>

1989

2 Б3012. Калориметрические измерения термодинамических свойств тройных оксидных соединений — продуктов деления ядерного топлива. Thermodynamic properties of ternary oxides of fission products from calorimetric measurements / Saha R., Babu R., Nagarajan K., Mathews C. K. // J. Nucl. Mater.— 1989.— 167.— С. 271—277.— Англ.

Теплосодержание  $H_T - H_{298}$  CaMoO<sub>4</sub> (I), SrMoO<sub>4</sub> (II), SrCeO<sub>3</sub> (III) и CaZrO<sub>3</sub> (IV) определено методом смешения в интервале 1034—1637 К, 1042—1636 К, 1051—1643 К и 1089—1715 К, соотв. Станд. отклонение 1—1,5 %. Полученные данные аппроксимированы ур-ниями для I  $H_T - H_{298} = 126,53395 \cdot T + 10,85738 \cdot 10^{-3} T^2 + 16,58591 \cdot 10^5 T^{-1} - 44254,19$  Дж/моль (298—1637 К), для II  $H_T - H_{298} = 98,93424 T + 29,4108 \cdot 10^{-3} T^2 - 4,93009 \cdot 10^4 T^{-1} - 31946,30$  Дж/моль (298—1636 К), для III  $H_T - H_{298} = 116,35821 T + 7,71258 \cdot 10^{-3} T^2 + 0,38183 \cdot 10^5 T^{-1} - 38524,47$  Дж/моль (298—

Н-Но

(73)

X. 1990, № 2

1643 К), для IV  $H_T - H_{298} = 102,07349 T + 13,16408 \cdot 10^{-3} T^2 + 8,89876 \cdot 10^5 T^{-1} - 34587,66$  Дж/моль (298—1715 К). II и III обнаружены в продуктах деления ядерного топлива. Обобщены термодинамич. данные изученных в-в и табулированы  $\Delta_f G_{1000}$  к из оксидов. Цирконаты Sr и Ba термодинамически более стабильны, чем молибдаты в интервале 500—2000 К, устойчивость III сравнима с устойчивостью  $SrZrO_3$ .

Л. А. Резницкий

1991

$\text{CaMoO}_4$   
 $\text{Ca}_3\text{MoO}_6$   
 $\text{Ca}_2\text{Mo}_9\text{O}_{14}$

).20 Б2026. Рентгенографическое и электронографическое изучение новой фазы в системе Ca—Mo—O:  $\text{Ca}_2\text{Mo}_9\text{O}_{14}$ . X-Ray and electron diffraction studies of a new phase in Ca—Mo—O system:  $\text{Ca}_2\text{Mo}_9\text{O}_{14}$  :[Pap.] .13th Eur. Crystallogr. Meet., Ljubljana, 25—30 Aug., 1991 /Wołczyrz M., Andruszkiewicz R., Kepiński L. //Z. Kristallogr .—1991 .—Suppl. Issue №.4 .—С. 273 .—Англ.

В системе Ca—Mo—O, помимо фаз  $\text{CaMoO}_4$  и  $\text{Ca}_3\text{Mo}_6\text{O}_{10}$ , установлено ряд новых. Одна из них  $\text{Ca}_2\text{Mo}_9\text{O}_{14}$  (I) получена из Mo,  $\text{MoO}_2$  и  $\text{CaMoO}_4$  в эвакуир. кварцевой ампуле при  $1100^\circ \text{C}$ . Выдержанной при этих условиях в течение 25 дней получены небольшие иглообразные, плоские монокристаллы. Рентгенографически определены параметры монокл. решетки I:  $a = 9,865$ ,  $b = 22,835$ ,  $c = 2,847 \text{ \AA}$ ,  $\gamma = 94,17^\circ$ ,  $Z = 2$ ,  $\rho$  (изм.)  $6,09$ , ф. гр.  $P2/m$  или  $Pm$ . В направлении осей  $b$  и  $c$  электронографически обнаружены дефекты упаковки или модуляции, приводящие к несогласованности, исчезающей в «больших» кристаллах при рентгенографич. изучении.

Н. Л. Смирнова

X. 1992, N 20

Само<sub>3</sub>

1991

5 В3. Синтез и структурные характеристики CaMoO<sub>3</sub>

/ Виноградов О. Н., Вовкотруб Э. Г., Глазкова Е. И., Мартемьянова З. С., Молчанова Н. Г., Плаксин С. В., Стрекаловский В. Н. // Докл. АН СССР.— 1991.— 320, № 6.— С. 1396—1399.— Рус.

Описан синтез и исследованы структурные х-ки соед. CaMoO<sub>3</sub> (I). I получен 2-ступенчатым синтезом через стадию предварит. получения диоксида молибдена, контролируемого рентгенографически, по р-ции Mo+2MoO<sub>3</sub>= =3MoO<sub>2</sub> и послед. получения I на стадии MoO<sub>2</sub>+ +CaO=CaMoO<sub>3</sub>. Оптим. условия синтеза: 1123—1173 К, 6—8 ч для MoO<sub>2</sub> и 1273—1373 К, 20—24 ч — для I. Цвет MoO<sub>2</sub> — сине-черн., I — черн. Продукты устойчивы на воздухе, не гигроскопичны. Рентгенографически определены параметры решетки I: ромбич., *a* 5,4525, *b* 5,8884, *c* 7,7658 Å. Структура I в сравнении с структу-

Синтез и  
структурные  
характери-  
стики

Х. 1992, N 5

рой  $\text{CaMoO}_4$  исследована методом КР-спектроскопии. Сравнение спектров свидетельствует о разнице в колебат. структуре соед.; внешне это проявляется в изменении спектра в области частот до  $300 \text{ см}^{-1}$  и смещении частот, относящихся к группировкам  $\text{MoO}_4$  ( $790 - 880 \text{ см}^{-1}$ ) в сторону их уменьшения. Кроме того наблюдается заметное уширение линий в спектре I. Отмечено, что одной из возможных причин образования дефектности в I является изменение окисл. состояния молибдена. Сравнение рентгеноэлектронных спектров I и  $\text{CaMoO}_4$  указывает на существование в I, в отличие от  $\text{CaMoO}_4$ , двух окисл. состояний +6 и +4.

Г. П. Чичерина



CaMo<sub>3</sub>  
CaMo<sub>4</sub>

1992

4 Б3101. Система Mo—Ca—O. On the Mo—Ca—O system /Andruszkiewicz R. //J. Alloys and Compounds .—1992.—186 , № 2 .—С. 369—378 .—Англ.

Методом рентгеновской порошковой дифрактометрии при 1373 К исследованы фазовые равновесия в системе Mo—Ca—O. Построена полная фазовая диаграмма. Кроме ранее известных из лит. соед. монокл. CaMoO<sub>3</sub> и тетрагон. CaMoO<sub>4</sub>, найдены 4 новые фазы: ромбич. CaMO<sub>6</sub>O<sub>9</sub>, монокл. Ca<sub>5</sub>Mo<sub>18</sub>O<sub>20</sub>, тетрагон. Ca<sub>8</sub>Mo<sub>7</sub>O<sub>20</sub> и ромбич. Ca<sub>5</sub>Mo<sub>3</sub>O<sub>12</sub>. Приведены плотности и структурные данные для всех этих соед. Все новые фазы не являются сверхпроводящими вплоть до 4 К. В. Ф. Байбуз

X.1993, N 4

1997

F: CaMoO<sub>4</sub>

P: 1

11Б2219. Доказательства сегнетоэлектрического фазового перехода в CaMoO<sub>4</sub> и CaWO<sub>4</sub> по данным импульсного ЭПР и диэлектрических исследований.  
Indications of a ferroelastic phase transition in

CaMoO<sub>4</sub> and CaWO<sub>4</sub> from pulsed EPR and dielectric studies / Simon J., Bottcher R., Hofstaetter A., Volkel G. // 3rd Eur. ESR Meet. "Mod. Aspects Struct. and Dyn. Invest. Paramagn. Syst. EPR", Leipzig, 1997. Leipzig, 1997. - С. P104. - Англ.

F: CaMoO<sub>4</sub>

P: 1

132:326550 Thermodynamic analysis of the synthesis  
of calcium and stronti molybdate from aqueous solutions.

da Silva Marins, Sandra; Ogasawara, Tsuneharu;  
dos Santos, Jorge Gomes Eng. Quimica, COPPE/UFRJ  
Brazil Congr. Anu. - Assoc. Bras. Metal. Mater.,  
Volume Date 1998, 53rd(53 Congresso de Tecnologia  
Metalurgica e Materiais), 987-991 (Portuguese) 19 The  
photoluminescence spectra of CaMoO<sub>4</sub> and SrMoO<sub>4</sub> with a  
scheelite-type structure has been already analyzed by  
many authors and attributed to an electronic transition  
of the charge-transference type in the MO scheme of  
anionic complex MoO<sub>4</sub><sup>-</sup>. This paper presents thermodn.

?

1999

C.A.2000, 132

anal. of the thermo possibilities of calcium and strontium molybdate formations in Ca-Sr-Mo-H system. Program HSC database for Windows 3.0 was used. The ppt. of  $Sr_1 - xCa_xMoO_4$  is thermodynamically impossible at room temp. Meanwhile, some w crystd.  $Sr_1 - xCa_xMoO_4$  solid-soln. films has been prep'd. upon a molybdenum substratum on an electrolytic soln. contg.  $Ca^{2+}$  e  $Sr^{2+}$  ions using an electrochem. method at room temp., as related by some authors. This is a indication of the role of the electrolytic tension on the raising of the activity to values that are high enough to make possible the heterogeneou

---

Ca/MoO<sub>4</sub>

2000

134: 62255f Melting-point diagram for the Mg, Ca/Cl, MoO<sub>4</sub> ternary reciprocal system. Gasanaliev, A. M.; Magomedov, M. M.; Dibirov, M. A.; Gamataeva, B. Yu. (Dagestan. Gos. Pedagog. Univ., Makhachkala, Russia). *Zh. Neorg. Khim.* 2000, 45(11), 1894–1896 (Russ), MAIK Nauka/Interperiodica Publishing. The title system was studied by thermal anal. The liquidus surface includes four regions of the primary crystn. of the initial components: The regions converge 615 and 602 °C (the eutectic points). These triple eutectics contain significant amts. of high-melting calcium molybdate (5–17 equiv.%).

Gasanaliev  
Magomedov

C.A. 2001, 134, N5